

УДК 669.053

Гичёв Ю.А. /д.т.н./, Перцевой В.А.

НМетАУ

Результаты экспериментального исследования запирающих с газовой струи при газодинамической отсечке шлака

Исследования связаны с разработкой системы газодинамической отсечки шлака при выпуске стали из кислородно-конвертеров. Приведены результаты экспериментального исследования запирающих турбулентной газовой струи при различных вариантах натекания струи на сталевыпускное отверстие. Библиогр.: 2 назв.

Внедрение ресурсо- и энергосберегающих технологий в черной металлургии имеет чрезвычайное значение, т.к. отрасль отличается высокой материало- и энергоемкостью. Данная работа касается ресурсосбережения в кислородно-конвертерном производстве стали, а именно, качественного отсеяния стали при выпуске стали из конвертеров. Качественное отделение шлака обеспечивает успешное выполнение последующих операций, связанных с обработкой стали вне конвертера.

В числе большого разнообразия способов отсечки шлака при выпуске стали из конвертеров выделяются газодинамические способы отсечки, суть которых заключается в воздействии на момент его появления в сталевыпусканом отверстии струей газа, запирающей шлак внутри объема. В сравнении с другими способами отсечки газодинамическая отсечка отличается быстродействием, дистанционного управления, отсутствием быстроизнашивающихся элементов и компактностью обе

© Гичёв Ю.А., Перцевой В.А., 2006

чье давление газа в полости выпускного отверстия для запирания шлака должно обеспечить гидравлическое равновесие со шлаком и реакцию на гидроудар вследствие резкого торможения шлака

$$P_{\text{изб}} = \rho_w \cdot g \cdot (H_w + L) + (2 \cdot L \cdot \rho_w \cdot \sqrt{2 \cdot g \cdot (H_w + L)}) / \tau_{\text{зап}}, \text{ Па}, \quad (1)$$

— плотность расплава шлака, кг/м³;
 ρ_w — удельное свободного падения, м/с²;
 H_w — разница уровня шлака над сталевыпускным отверстием, м;
 L — высота сталевыпускного отверстия, м;
 $\tau_{\text{зап}}$ — время запирания шлака, с.
 Данные избыточного давления, полученные по формуле (1), для конвертеров различной емкости приведены на рис. 1, из которых следует, что минимальное необходимое для запирания шлака давление, например, при времени срабатывания 1 с, должно быть в пределах 0,040–0,045 МПа при 2 с — 0,033–0,037 МПа и т.д. Таким образом, с этим первоочередной задачей дальнейших исследований является определение возможности достижения такого давления в полости сталевыпускного отверстия.

Физической сути для решения данной задачи экспериментальные исследования заключались в измерении давления в струе, втекающей в тупиковый импактной струи. Тупиковый канал в модели имитировал сталевыпускное отверстие конвертера, а днище тупикового канала — заторможенный шлак. Принципиальная схема экспериментальной установки для исследования запирающих свойств шлака представлена на рис. 2.

Воздух от компрессора через форкамеру центрального потока при эксперименте с одним запирающим устройством непосредственно к соплу. Колцевой канал и форкамера колцевого потока в экспериментальной установке предназначены для возможности размещения нескольких сопел перед моделью. Модель имитирующая сталевыпускное отверстие, выполнена в виде тупикового канала и размещена на дне, который обеспечивал изменение угла натекания струи на тупиковый канал. Для наблюдения волновой структуры потока установка оборудована теневым прибором. В модели тупикового канала дренажные отверстия, к которым подведены импульсные трубы (линии). Внешние исследования выполнены в два этапа.

На первом этапе исследовалось давление газа на внутреннюю поверхность тупикового канала при различных углах натекания струи.

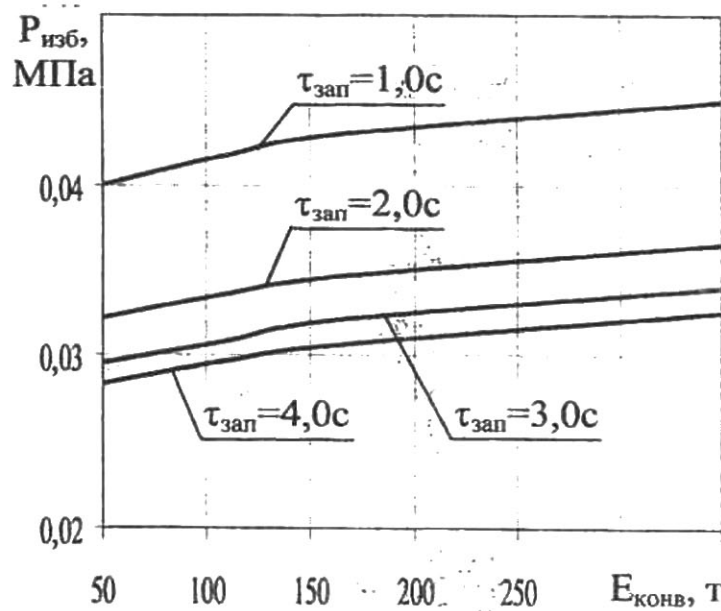


Рис. 1. Давление, необходимое для запирания шлака ($P_{\text{изб}}$) для конвертеров различной емкости ($E_{\text{конв}}$)

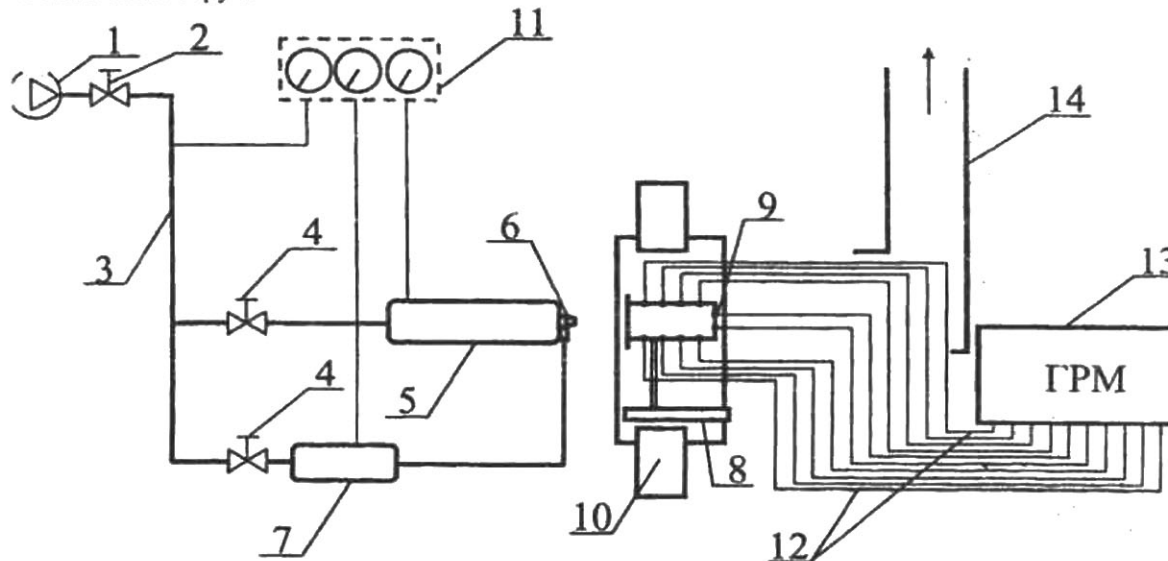


Рис. 2. Принципиальная схема экспериментальной установки:
 1-форсунка; 2-запорная задвижка; 3-воздухопровод высокого давления; 4-регулирующая задвижка; 5-форкамера центрального потока; 6-сопло; 7-форкамера колцевого потока; 8-координатник; 9-модель тупикового канала; 10-импульсный измерительный блок; 11-щит образцовых манометров; 12-пакет импульсных линий; 13-групповой регистрирующий манометр (ГРМ); 14-воздухоотвод

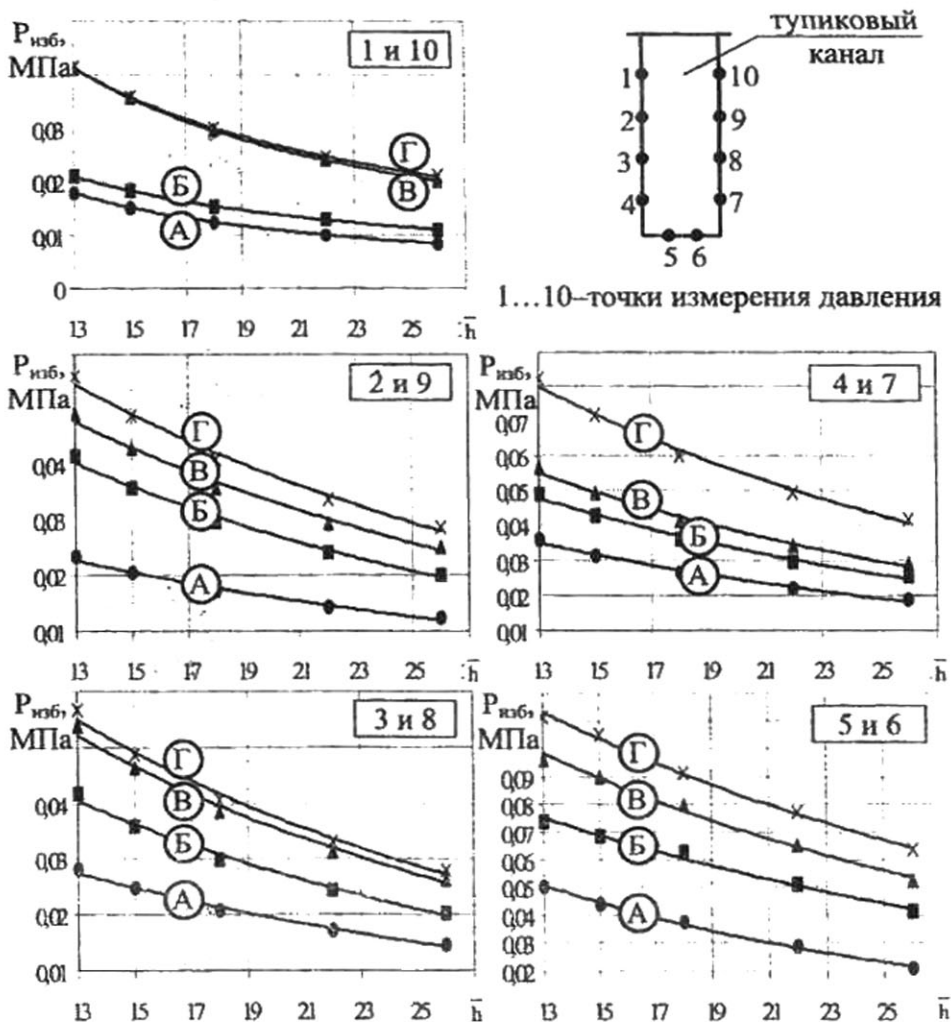


Рис. 3. Результаты измерений давления газовой струи на внутреннюю стенку тупикового канала ($P_{изб}$) в различных относительных расстояниях между соплом и срезом канала $h=h/d_s$, где h – расстояние от сопла до тупикового канала, d_s – диаметр выходного сечения сопла; А, Б, В и Г – давление газа перед соплом (P_0) 0,5, 0,7, 1,0 и 1,1 МПа, соответственно

Результаты измерений представлены на рис. 3.

Сравнение давлений газовой струи на внутреннюю поверхность тупикового канала позволяет сделать следующие выводы.

При прочих одинаковых условиях давление на поверхность тупикового канала возрастает с увеличением давления перед соплом и с уменьшением расстояния между соплом и тупиковым каналом, что свидетельствует об адекватности результатов измерений [2]. При всех значениях давлений и расстояниях от сопла до тупикового канала давление струи на днище канала (точки измерения давления 5 и 6) заметно выше по сравнению с давлением на боковую поверхность канала (точки измерения давления 1...4 и 7...10), что объясняется следующим.

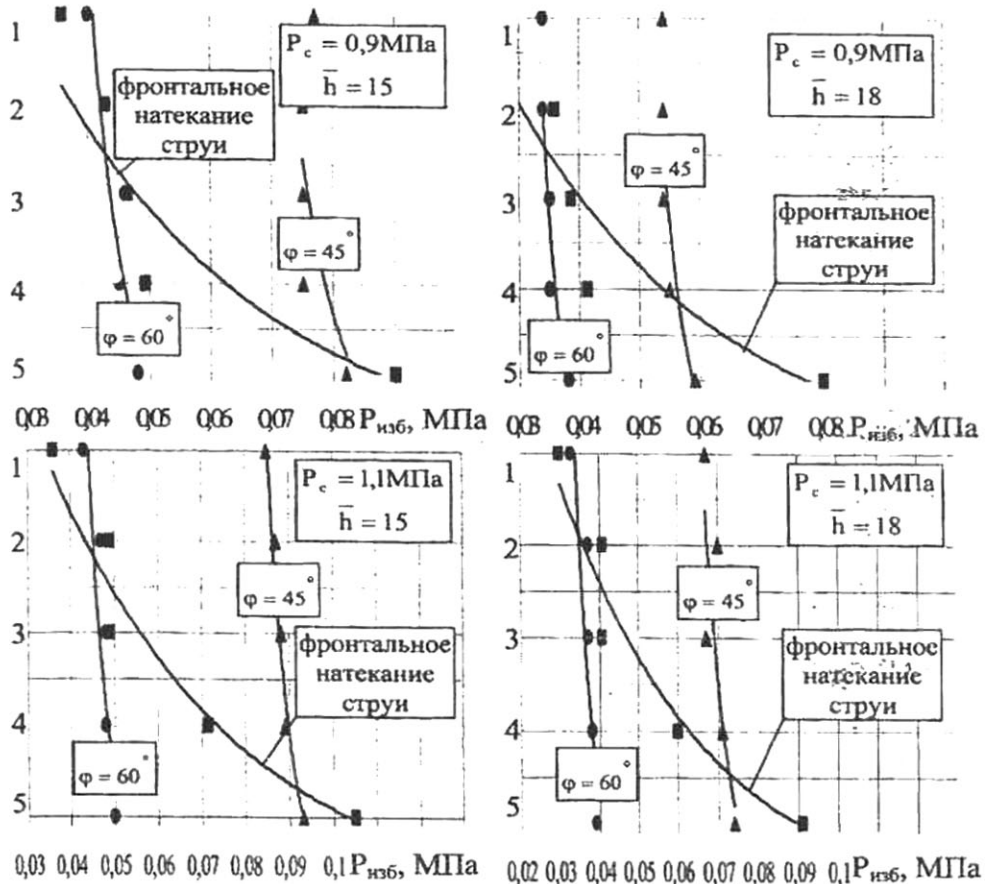
Во-первых, реакция днища на втекающую в канал импактную струю соответствует полному давлению приближающемуся к давлению ее торможения.

Во-вторых, давление на боковую поверхность канала не отражает в достаточной степени полное давление струи газа в связи с большой скоростью струи, турбулизацией струи вблизи кромок дренажных отверстий параллельностью направления движения струи боковым стенкам канала.

В-третьих, давление втекающей в тупиковый канал струи на боковую поверхность канала так же, как и в центральной части канала, уравновешивается встречным, отраженным от днища, потоком газа, что приводит к стабилизации давления.

Все это указывает на то, что принятая для отсечки шлака схема движения газа, т.е. непосредственное извлечение струи газа на сталевыпускное отверстие, по своей физической сути вполне обеспечивает работоспособность устройства для газодинамической отсечки шлака, а именно, обеспечивает максимальное давление струи на канала и стабилизацию давления внутри канала.

Второй этап экспериментальных исследований включал измерения давления газа при боковом натекании



изменение давлений на внутреннюю стенку тупикового канала (Ризб) при различных вариантах натекания струи на канал

канал. Результаты измерений и сравнение давлений газа на внутреннюю поверхность тупикового канала при различных значениях угла (ϕ) между осью сопла и осью канала представлены на рис. 4.

вом натекании струи на тупиковый канал так же, как и при фронтальном натекании струи, результаты указывают на их адекватность, т.е. давление на внутреннюю поверхность тупикового канала возрастает

з особенностей бокового натекания струи можно отметить следующие:

нение давления на внутреннюю поверхность тупикового канала, т.е. резко увеличенное давление на

та по сравнению с фронтальным натеканием здесь отсутствует;

ковом натекании на тупиковый канал под углом 45° давление на боковые стенки канала в целом более

равнению с фронтальным натеканием, а при натекании под углом 30° , т.е. при угле ϕ между осью

канала и осью тупикового канала 60° , резко снижается.

ом же представленные значения измеренных давлений позволяют подобрать конструктивные

特征 и давление газа перед запирающим соплом, необходимые для отсечки и запирания шлака в

онструировании устройства для газодинамической отсечки шлака можно использовать уравнение

его анализа, которое обобщает всю совокупность измерений избыточного давления в тупиковом

$$P_{\text{изб}} = -0,344 + 0,581 \cdot P_c^{0,1} - 0,028 \cdot h^{0,5} + 0,0017 \cdot \phi - 0,0032 \cdot D, \text{ МПа}, \quad (2)$$

диаметр тупикового канала, мм.

Приведенное уравнение дает среднеквадратичное отклонение расчетной величины от экспериментальной, что свидетельствует о высокой степени точности аппроксимации совокупности измеренных данных.

Графический список

в Ю.А. Исследование газодинамической отсечки шлака при выпуске стали из конвертера // Металлург. и горноруд. 2002. - № 7. - С. 170-173.

и О.А., Перцевой В.А. Исследование турбулентной газовой струи в системе газодинамической отсечки шлака // Улитехника. Сб. науч. тр. НМетАУ. - Том 9. - Днепропетровск: НМетАУ, 2003. - С. 186-188.